w-Wiener Polynomials for Width Distance of Some Special Graphs Ali A. Ali Asma S. Aziz

College of Computer Science and Mathematics University of Mosul, Iraq

Received on: 19/04/2007

Accepted on: 30/05/2007

ABSTRACT

Let G be a k₀-connected graph ,and let $d_w(u,v)$, $1 \le w \le k_0$, be the w-width, distance between the two vertices u,v in G. The w-Wiener polynomial of the width distance of G is defined by:

$$W_{w}(G;x) = \sum_{u,v \in V(G)} x^{d_{w}(u,v)}$$

 $W_w(G;x)$ is obtained in this paper for some special graphs G such as a cycle , a wheel, a theta graph , a straight hexagonal chain , and Wagner graph .The diameter with respect to the width distance – w, and the Wiener index for each such special graphs are also obtained in this paper.

Keywords: Wiener Polynomial, Width Distance, diameter, Wiener index.

متعددات حدود وبنر -w للمسافة العرضية لبعض البيانات الخاصة

على عزيز على أسماء صلاح عزيز

كلية علوم الحاسبات والرياضيات، جامعة الموصل

تاريخ استلام البحث :2007/04/19 تاريخ قبول البحث :2007/05/30

لملخص

ليكن G بيانا متصلاً عامل اتصاله k_0 وأن k_0 وأن $w \leq k$ وأن $d_w(u,v)$ وأن $w \leq k$ وأن $w \leq u$ المسافة العرضية w = u بين الرأسين u و v في u . v نسبة للمسافة العرضية w على أنها

$$W_{w}(G;x) = \sum_{u,v \in V(G)} x^{d_{w}(u,v)}$$

تضمن هذا البحث إيجاد $W_w(G;x)$ عندما يكون G بيانا خاصا كالدارة والعجلة وبيان ثيتا θ وبيان سلسلة سداسية مستقيمة ، وبيان واكنر . كما تضمن البحث إيجاد القطر بالنسبة إلى المسافة العرضية w وإيجاد دليل وينر لكل من هذه البيانات الخاصة.

الكلمات المفتاحية: متعددة حدود وبنر، المسافة العرضية، القطر، دليل وبنر.

1.المقدمة Introduction

بسبب تطور فن تشييد شبكات الحاسوب ذوات الاتصال الداخلي المتوازي فقد أصبح هنالك توجه كبير لأعمام مفهوم المسافة باتجاه معين [8].

لیکن u و v این متصل u نعرف حاویة u و v علی أنها مجموعة دروب منفصلة داخلیا التی تصل بین u و v و و v و و v و v داخلیا التی تصل بین v و v و v داخلیا التی تصل بین v دادلیا التی بین v دادلیا التی تصل بین v دادلیا التی تحدید و تحدید ت

يعرف عرض (width) الحاوية C(u,v) على أنه عدد الدروب u-v في C(u,v) ويرمز له w(C(u,v)) ، أي أن

$$w(C(u,v)) = |C(u,v)|$$

كما يعرف طول الحاوية ويرمز له C(u,v) على أنه الطول لأطول درب في الحاوية ويرمز له (w-i) وأخيرا لأجل عدد صحيح موجب w نعرف المسافة العرضية أو (المسافة w-i بين رأسين v و v في بيان v و المسافة v أنها

$$d_{w}(u,v|G) = \min_{C(u,v)} \ell(C(u,v)) \qquad(1.1)$$

حيث أن الأصغر يؤخذ على كل الحاويات C(u,v) ذات العرض w. وعندما لا يكون هناك التباس فسوف نعبر عن المسافة العرضية بين u و v و v و v المسافة العرضية بين v و v

u من الواضح أنه عندما يكون w=1 فان المسافة w=1 تصبح المسافة الاعتيادية بين w=1 و w=1 سنحاول دراسة المسافة w=1 عندما w=1 أما الحد الأعلى w=1 فانه عامل الاتصال w=1 للبيان w=1 أي أن w=1 أي أن w=1 وسوف نستبعد حالة كون w=1 من دراستنا لأنها تمثل المسافة الاعتيادية والتي لها دراسات كثيرة ومتقدمة w=1. أما لو كانت w>1 فان المسافة w=1 تعد غير معرفة. عندما w=1 فسوف نأخذ الرأسين w=1 و w=1 عندما w=1

 $\delta_w(G)$ يعرف القطر w لبيان G والذي يرمز له بـ diam $_w(G)$ أو G بأنه أكبر المسافات العرضية G قي G أي أن:

$$\delta_{w}(G) = \max_{u,v \in V(G)} d_{w}(u,v \mid G) \qquad(1.2)$$

 $\delta_{_{W}}(G) \geq \delta(G)$ واضح أن

أما دليل وينر -w فهو مجموع المسافات العرضية -w في البيان G أي:

$$W_{w}(G) = \sum_{u,v \in V} d_{w}(u,v \mid G) \qquad(1.3)$$

وأعماما لمتعددة حدود وينر نسبة لدالة المسافة الاعتيادية d [6] نعرف متعددة حدود وينر w كالأتى:

$$W_{w}(G;x) = \sum_{u,v \in V} x^{d_{w}(u,v)}$$
(1.4)

w-فإذا كان $C_w(G,k)$ يمثل عدد الأزواج غير المرتبة للرؤوس التي تساوي المسافة العرضية k بينها k

$$W_{w}(G; x) = \sum_{k>2}^{\delta_{w}} C_{w}(G, k) x^{k} \qquad(1.5)$$

 $w \ge 2$ فان المسافة $w \ge 2$ لا تقل عن 2. لأنه عندما يكون

من الواضح أن

$$W_{w}(G) = \frac{d}{dx} W_{w}(G; x) \Big|_{x=1} = \sum_{k>2}^{\delta_{w}} k C_{w}(G, k)$$
(1.6)

يعرف معدل المسافة العرضية w بأنه حاصل قسمة دليل وينر w على عدد الأزواج

غير المرتبة للرؤوس المختلفة وهو $\binom{p}{2}$ أي أن:

$$\mu_{w}(G) = W_{w}(G) / \binom{p}{2} \qquad \dots (1.7)$$

لتي $C_w(v,G,k)$ يمثل عدد رؤوس G التي ليكن v رأسا في بيان متصل v ولنفرض أن v ولنفرض $w\geq 2$ و v كل منها تبعد بمسافة عرضية v تساوي v عن الرأس v إذ أن v و v

واضح أن

$$\sum_{v \in V} C_w(v, G, k) = 2C_w(G, k) \qquad(1.8)$$

 $2 \le k \le \delta_w$ لکل

وتعرف متعددة حدود وينر -w بالنسبة إلى الرأس v ب

$$W_{w}(v,G;x) = \sum_{k>2}^{\delta_{w}} C_{w}(v,G,k) x^{k} \qquad(1.9)$$

من (1.5) و(1.8) و(1.9) نستنتج أن [1]

$$\sum_{v \in V} W_w(v, G; x) = 2W_w(G; x) \qquad \dots (1.10)$$

$$=2\sum_{k\geq 2}^{\delta_{w}}C_{w}(G,k)x^{k}=2W_{w}(G;x).$$

w- نعريف: يقال لبيان متصل w- أنه منتظم نسبة للمسافة العرضية w- إذا كان لكل w- أي أن عدد الرؤوس التي تبعد بمسافة w- أي أن عدد الرؤوس التي تبعد بمسافة w- عرضية w- عن الرأس w- هو نفسه بالنسبة إلى كل w- في w- عن الرأس w- أي أن عدد الرؤوس التي تبعد بمسافة المسافة المسافة العرضية w- أي أن عدد الرؤوس التي تبعد بمسافة المسافة المسافقة الم

Kp التام متعددات حدود وينر w-w ودليل وينر w-w لكل من البيان التام والثنائي التجزئة التام Kr,s كما هو مذكور أدناه:

$$W_w(K_p; x) = \frac{1}{2} p(p-1) x^2,$$
 $2 \le w \le p-1,$ (1.11)

وعندئذ يكون

$$W_{w}(K_{p}) = p(p-1)$$
(1.12)

$$W_{w}(K_{r,s};x) = \begin{bmatrix} r \\ 2 \end{bmatrix} + \begin{pmatrix} s \\ 2 \end{bmatrix} x^{2} + rs x^{3}, \qquad 2 \le w \le \min\{r, s\}, \qquad \dots (1.13)$$

$$W_{w}(K_{r,s}) = r(r-1) + s(s-1) + 3rs$$
(1.14)

$$\mu_{w}(K_{r,s}) = W_{w}(K_{r,s}) / {r+s \choose 2}$$

: C_p الدارة .2

من الواضح أن عامل الاتصال للدارة C_p هو 2 وبذلك فان w=2. فإذا كان u و v أي رأسين مختلفين في v فان هناك دربين بين v و v منفصيلين داخليا ومجموع طوليهما هو v لذلك فان طول الحاوية v أي أن:

$$d_2(u, v) = max\{d(u, v), p-d(u, v)\}$$

ويما أن

$$1 \le d(u,v) \le \left\lfloor \frac{p}{2} \right\rfloor$$

$$d_2(u,v) = p - d(u,v)$$
فان

 $d_2(u,v)=p-k$ فان هنالك p من أزواج الرؤوس $\{u,v\}$ بحيث أن d(u,v)=k فعندما يكون $k=1,2,3,\ldots,\left\lfloor \frac{p}{2}\right\rfloor$ لقيم لقيم لقيم المسافة المسافة عدد الأزواج المسافة

$$\frac{p}{2} \text{ so } d_2(u,v) = \frac{p}{2}$$

مما تقدم نستنج متعددة حدود وينر $W_2(C_n;x)$ كما في المبرهنة الآتية:

مبرهنة 2.1 : لكل $p \ge 3$ لدينا:

$$W_2(C_p; x) = \begin{cases} p(x^{p-1} + x^{p-2} + \dots + x^{(p+1)/2}), & \text{when p is odd} \\ p(x^{p-1} + x^{p-2} + \dots + x^{1+p/2} + \frac{1}{2}x^{p/2}), & \text{when p is even} \end{cases}$$

باستخراج مشتقة $W_2(C_p;x)$ عندما X=1 نحصل على دليل وينر $W_2(C_p;x)$ وبالقسمة باستخراج مشتقة وينر $W_2(C_p;x)$ عندما على معدل المسافة العرضية $U_2(C_p)$ كما هو مدون في النتيجة الآتية:

نتيجة 2.2 : لكل $p \ge 3$ لدينا:

$$W_2(C_p) = \begin{cases} p(p-1)(3p-1)/8; & \text{when p is odd} \\ p^2(3p-4)/8; & \text{when p is even} \end{cases}$$

$$\mu_2(C_p) = \begin{cases} (3p-1)/4; & \text{when p is odd} \\ p(3p-4)/4(p-1); & \text{when p is even} \end{cases}$$

$: W_{_{\mathrm{D}}}$ العجلة. 3

نفرض أن \mathbf{C}_{p-1} ونأخذ رأسين \mathbf{v}_i و \mathbf{v}_i و وأخذ رأسين \mathbf{v}_i و وأخذ رأسين \mathbf{v}_i و والخذ رأسين \mathbf{v}_i و ولاي و ولاي الخير منفصيلا عنه بطول $\mathbf{v}_i,\mathbf{v}_p,\mathbf{v}_j$ بطول 2 ودريا آخير منفصيلا عنه بطول $\mathbf{v}_i,\mathbf{v}_p,\mathbf{v}_j$ فان $\mathbf{v}_i,\mathbf{v}_i$ فان

$$d_2(v_i, v_j) = d(v_i, v_j | C_{p-1})$$
(3.1)

$$d_2(v_i, v_j) = 2$$
(3.2)

فضلا عن ذلك، فان

$$d_2(v_1, v_2) = 2$$
(3.3)

$$C_{p-1}$$
 لكل رأس V_{i} من رؤوس

وعليه مما تقدم نستنتج أن:

$$W_2(W_p; x) = 2(p-1)x^2 + W(C_{p-1}; x) - (p-1)(x+1)$$
(3.4)

تكون من
$$\mathbf{C}(\mathbf{u},\mathbf{v}_{\mathrm{p}})$$
 حاوية $\mathbf{C}_{\mathrm{p-l}}$ حاوية \mathbf{u} من ان $\mathbf{w}=3$. $\mathbf{w}=3$ تتكون من دربين بطول 2 مع درب بطول واحد وعليه فان

$$d_3(u, v_p) = 2, \quad u \in V(C_{p-1})$$
(3.5)

والآن نأخذ رأسين مختلفين
$$V_i$$
 و V_j من V_{p-1} فنلاحظ أن الحاوية $C(v_i,v_j)$ المكونة من ثلاثة دروب هي V_i,V_p,V_j مع دربي V_i-V_j مع دربي نالاثة دروب عن الدارة الح

$$d_3(v_i, v_j) = d_2(v_i, v_j | C_{p-1})$$
(3.6)

وكذلك نستنتج من (3.5) و (3.6) أن:

$$W_3(W_p; x) = (p-1)x^2 + W_2(C_{p-1}; x)$$
(3.7)

وأخيرا باستخدام [6] ومبرهنة 1.2 نحصل على المبرهنة الآتية:

مبرهنة 3.1:

(a) لأجل p ≥ 8 فان:

$$W_2(W_p; x) = \begin{cases} (p-1)(3x^2 + x^3 + ... + x^{(p-2)/2}); & \text{when p is even} \\ (p-1)(3x^2 + x^3 + ... + x^{(p-3)/2} + \frac{1}{2}x^{(p-1)/2}); & \text{when p is odd} \end{cases}$$

(b) لأجل $p \ge 5$ فان:

$$\begin{split} W_3(W_p;x) &= (p-1)x^2 \\ &+ \begin{cases} (p-1)(x^{p-2} + x^{p-3} + ... + x^{p/2})\,; & \text{when p is even} \\ (p-1)(x^{p-2} + x^{p-3} + ... + x^{(p+1)/2} + \frac{1}{2}x^{(p-1)/2}); & \text{when p is odd} \end{cases} \end{split}$$

 $W_2(W_p;x)$ فان متعددات الحدود w=2 هي: w=2 ملاحظة 3.2: هي عالمة كون w=2

$$W_2(W_5; x) = 10x^2,$$

 $W_2(W_6; x) = 15x^2,$
 $W_3(W_7; x) = 18x^2 + 3x^3,$

ولأجل إيجاد $W_2(W_p;x)$ و $W_2(W_p;x)$ و و $W_3(W_p;x)$ و و و $W_3(W_p;x)$ و المعطاة في مبرهنة 3.1 عندما X=1 عندما على:

نتيجة 3.3:

لأجل $p \ge 8$ فان لدينا:

$$W_2(W_p) = \begin{cases} (p-1)(p^2 - 2p + 24)/8; & \text{when p is even} \\ (p-1)^3/8 + 3(p-1); & \text{when p is odd} \end{cases}$$

(b) لأجل $p \ge 5$ فأن لدينا:

$$W_3(W_p) = \begin{cases} (p-1)(3p^2 - 10p + 24)/8; & \text{when p is even} \\ (p-1)(3p^2 - 10p + 23)/8; & \text{when p is odd} \end{cases}$$

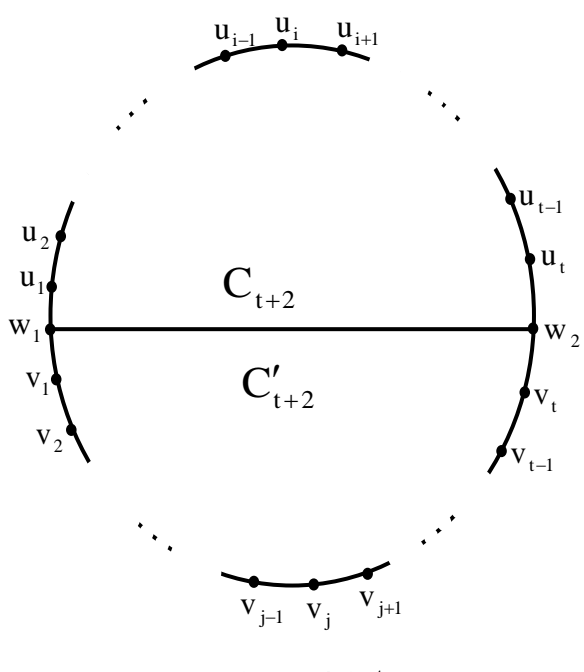
من السهل إيجاد معدل المسافة العرضية $\mu_{w}(W_{p})$ بالقسمة على وباستخدام

نتيجة3.3وهو:

$$\mu_2(W_p) = \frac{1}{4p} \begin{cases} (p^2 - 2p + 24); & \text{when p is even} \\ (p^2 - 2p + 25); & \text{when p is odd} \end{cases}$$

$$\mu_3(W_p) = \frac{1}{4p} \begin{cases} (3p^2 - 10p + 24); & \text{when p is even} \\ (3p^2 - 10p + 23); & \text{when p is odd} \end{cases}$$

Theta Graph: (θ) بيان ثيتا 4.



 θ_{t} الشكل 4.1 بيان

من الواضح أن

$$p(\theta_t) = 2(t+1)$$
, $q(\theta_t) = 2t + 3$

ومن ملاحظة الشكل 1.4 يتبين لنا أن عامل الاتصال يساوي 2، وبذلك فان لدينا w=2 فقط. ومن الواضح أن القطر للمسافة العرضية -2 هو 2t لأن

$$\operatorname{diam}_2 \theta_t = d_2(u_t, v_t) = d_2(u_1, v_1) = 2t$$

 $V_1 = V(C_{t+2})$ و $V_1 = V(C_{t+2})$ و الأجل إيجاد متعددة حدود وينر للمسافة العرضية $V_1 = V(C_{t+2})$. $V_2 = V(C_{t+2}')$

إذا كان $u,u'\in V_1$ ، فان الحاوية C(u,u') الصغرى تكون ضمن الدارة $u,u'\in V_1$ ، وهذا يعني أن المسافة العرضية u للرأسين u و u

$$d_2(u,u'|\theta_t) = d_2(u,u'|C_{t+2})$$

وعليه فان متعددة الحدود لأزواج الرؤوس في V_1 هي:

$$\sum_{\mathbf{u},\mathbf{u}'\in V_1} \mathbf{x}^{d_2(\mathbf{u},\mathbf{u}')} = \mathbf{W}_2(\mathbf{C}_{t+2};\mathbf{x}) \qquad(4.1)$$

وبالمثل فان متعددة الحدود لأزواج الرؤوس في V_2 هي:

$$\sum_{v,v' \in V_2} x^{d_2(v,v')} = W_2(C'_{t+2};x) = W_2(C_{t+2};x)$$
(4.2)

وبسبب تكرار الرأسين \mathbf{W}_1 و \mathbf{W}_2 يجب إيجاد المسافة العرضية – 2 بينهما والتي هي:

$$d_2(w_1, w_2 | \theta_t) = t + 1$$

 $C(u_i,v_j)$ ويبقى إيجاد المسافات $d_2(u_i,v_j)$ حيث أن $i,j=1,2,\ldots,t$ إن الحاوية $d_2(u_i,v_j)$ تتكون من الدربين ذات أقل طول (أي التي طولها يساوي المسافة العرضية -2 للزوج $\{u_i,v_j\}$ تتكون من الدربين الآتيين:

$$P_1: u_i, u_{i-1}, u_{i-2}, \dots, u_2, u_1, w_1, v_1, v_2, \dots, v_j$$

 $P_{_{\!2}}:u_{_{i}},u_{_{i+1}},u_{_{i+2}},\ldots,u_{_{t-1}},u_{_{t}},w_{_{\!2}},v_{_{t}},v_{_{t-1}},\ldots,v_{_{j}}$

من الواضح أن

$$\ell(P_1) = i + j$$

وأن

$$\ell(P_2) = 2t - i - j + 2$$

والآن نجد قيم i و j ومن شم نجد القيم التي تجعل والآن نجد قيم i والآن نجد القيم التي تجعل $\ell(P_1) \leq \ell(P_2)$.

فإذا كان $\ell(P_1) \le \ell(P_2)$ أي

$$i + j \le 2t - i - j + 2$$
(4.3)

. $d_2(u_i,v_i) = \ell(P_2)$ هذه العلاقة تعطى قيم i بدلالة زالتي تجعل

ومنها نحصل على

$$2i \le 2t - 2j + 2$$

$$\Rightarrow i \le t - j + 1$$

$$\Rightarrow 1 \le i \le t - j + 1$$
....(4.4)

 $d_2(\mathbf{u}_i,\mathbf{v}_j) = \ell(\mathbf{P}_1)$ التي لا تحقق هذه المتباينة يكون فيها التي التحقق المتباينة المتباينة بكون أ

ومما تقدم وبالاعتماد على المتباينة (2.3.4) نحصل على:

$$\sum_{i=1}^{t} x^{d_2(u_i,v_j)} = \sum_{i=1}^{t-j+1} x^{2t-i-j+2} + \sum_{i=t-i+2}^{t} x^{i+j} \qquad \dots (4.5)$$

هذه الصيغة للرأس v_j نسبة إلى الرؤوس u_i و $1 \leq i \leq t$ ،وقيم i التي تحقق هذه الصيغة هي v_j نسبة إلى الرؤوس v_i مع الرؤوس $i \leq i \leq t$ ، فان متعددة الحدود الناتجة لكل الأزواج $i \leq i \leq t$ ، كا تكون $i \leq i \leq t$ ، كا تكون

$$\sum_{i=1}^{t} x^{d_2(v_1, u_i)} = \sum_{i=1}^{t} x^{2t-i+1}$$
(4.6)

(لاحظ الشكل 4.1).

وبأخذ المجموع للعلاقة (4.5) لقيم $2 \le j \le t$ وجمعها مع العلاقة (4.6) نحصل على

$$\sum_{j=1}^{t} \sum_{i=1}^{t} x^{d_2(u_i,v_j)} = \sum_{j=2}^{t} (\sum_{i=1}^{t-j+1} x^{2t-i-j+2} + \sum_{i=t-j+2}^{t} x^{i+j}) + \sum_{i=1}^{t} x^{2t-i+1} \qquad \qquad(4.7)$$

وعند إجراء التبسيط الجبري على هذه العلاقة نحصل على الصيغة الآتية:

$$\sum_{i=1}^{t} \sum_{j=1}^{t} x^{d_2(u_i,v_j)} = (x^{t+1} + x^{t+2}) \sum_{k=0}^{t-2} (t-k-1) x^k + \sum_{i=1}^{t} x^{2t-i+1}$$
(4.8)

وبجمع العلاقتين (4.1) و (4.2) مع العلاقة (4.8) وطرح x^{t+1} ، نحصل على متعددة حدود وينر للمسافة العرضية θ_t لبيان θ_t وكما هي في المبرهنة الآتية:

مبرهنة $t \ge 2$ عندما تكون $t \ge 3$ فان

$$\begin{split} W_{2}(\theta_{t};x) &= 2W_{2}(C_{t+2};x) - x^{t+1} + (x^{t+1} + x^{t+2}) \sum_{k=0}^{t-2} (t - k - 1)x^{k} \\ &+ \sum_{i=1}^{t} x^{2t-i+1} \end{split}$$

حيث أن

$$W_{2}(C_{t+2}; x) = \begin{cases} (t+2) \sum_{k=(t+3)/2}^{t+1} x^{k}, & \text{when t is odd} \\ (t/2+1) x^{t/2+1} + (t+2) \sum_{k=t/2+2}^{t+1} x^{k}, & \text{when t is even} \end{cases}$$

#

وبأخذ مشتقة $W_2(\theta_t;x)$ عندما x=1 وتبسيط النتائج نحصل على:

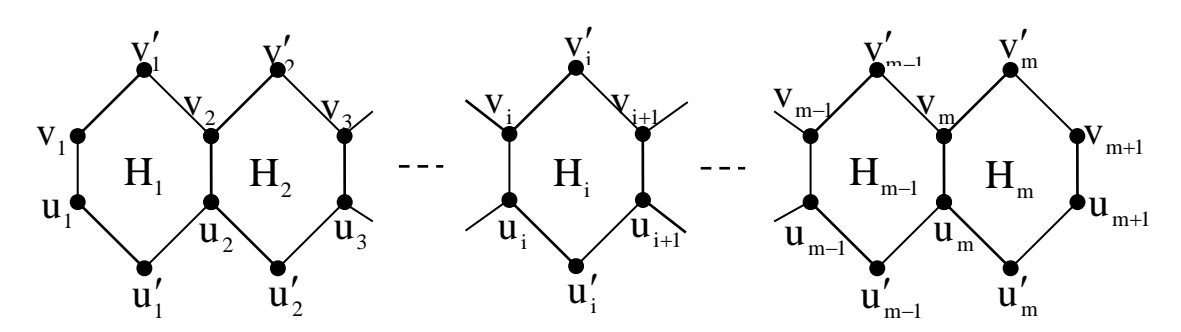
نتيجة 4.3: دليل وبنر للمسافة العرضية -2 لبيان θ هو

$$W_2(\theta_t) = \begin{cases} (t/12)(25t^2 + 54t + 44) + 1, & \text{when tis even} \\ (t/12)(25t^2 + 54t + 47) + 3/2, & \text{when tis odd} \end{cases}$$

5. بيان سلسلة سداسية مستقيمة: A graph of straight hexagonal chain

في استخدام البيانات لتمثيل جزئيات مركبات الكربوهيدرات نصادف أنظمة سداسية الحلقات متصلة مع بعضها البعض بأسلوب معين. وقد كانت هنالك دراسة لدليل وينر لهذه البيانات [5,7]. وفي هذا البند ندرس نوعا معينا من هذه البيانات يسمى بيان سلسلة سداسية مستقيمة.

تعریف 5.1: یتکون البیان لسلسلة سداسیة مستقیمة من عدد m من الحلقات السداسیة کل منها یشترك مع الحلقة التي تلیها بحافة واحدة بحیث أن الخط الواصل بین مراکزها (علی إعتبار أن جمیع الحلقات مضلعات سدسیة منتظمة ومتطابقة) یکون مستقیما کما هو مبین فی الشکل 5.1 أن کل حلقة ممثلة بمضلع سداسی منتظم، ونرمز لهذا البیان بـ G_m وسوف نرمز للحلقات H_1, H_2, \ldots, H_m



الشكل5.1بيان سلسلة سداسية مستقيمة

 $p(G_m) = 4m + 2$ واضح أن $q(G_m) = 5m + 1$ و

نرمز لرؤوس الحلقة H_i بي الشكل $V_i, V_i', V_{i+1}, u_{i+1}, u_i', u_i$ بي الشكل G_m نجد المسافة G_m نجد أن عامل الاتصال له هو 2، وعليه فسوف نجد المسافة العرضية -2.

وفيما يتعلق بقطر المسافة العرضية -2 (أي القطر -2) فانه يساوي المسافة العرضية بين الرأسين $u'_{\rm m}$ و $u'_{\rm m}$ الرأسين $v'_{\rm m}$ و $v'_{\rm m}$ أي أن:

$$\operatorname{diam}_{2} G_{m} = \max_{u,v \in V(G_{m})} \{d_{2}(u,v)\} = d_{2}(v'_{1}, v'_{m}) = d_{2}(u'_{1}, u'_{m})$$

إذا

$$diam_2 G_m = 2m + 4$$
(5.1)

المبرهنة الآتية تعطينا متعددة حدود وينر للمسافة العرضية –2 للبيان $m \geq 2$ ، G_m إذا كانت

وان $G_1 = C_6$ فان m = 1

$$W_2(C_6; x) = 6x^5 + 6x^4 + 3x^3$$
(5.2)

مبرهنة 5.2: لأجل $m \ge 2$ فان

$$W_{2}(G_{m};x) = 3m(1+2x)x^{3} + (5m+1)x^{5}$$

$$+2(2+3x+2x^{2}+x^{3})x^{3}\sum_{j=1}^{m-1}(m-j)x^{2j}$$
(5.3)

البرهان: لإثبات (5.3) نستخدم مبدأ الاستقراء الرياضي على m.

إذا كانت 2= m، فان:

$$W_2(G_2; x) = 6x^3 + 12x^4 + 15x^5 + 6x^6 + 4x^7 + 2x^8$$
(5.4)

ونفرض أن متعددة حدود وينر للمسافة العرضية-2، $W_2(G_{m-1};x)$ ، معلومة ونحاول إيجاد $m \ge 3$ لأجل $W_2(G_m;x)$

وبمقارنة G_{m-1} و G_{m-1} في الشكل 5.1 نجد أن

$$W_2(G_m; x) = W_2(G_{m-1}; x) + W_2(C_6; x) + F(x) - x^5 \qquad \dots (5.5)$$

حيث أن

$$F(x) = \sum_{u,v} x^{d_2(u,v)}$$

لكل

$$v \in V(G_{m-1}) - \{v_m, u_m\}, u \in A = \{v'_m, v_{m+1}, u_{m+1}, u'_m\}$$

والآن نجد صيغة للدالـة F(x) لتعويضها في (5.5) نلاحظ أن المسافة والآن نجد صيغة للدالـة والآن نجد صيغة للدالـة والآن نجد صيغة للدالـة العويضها في العويضها في العويضها في العويضها في العرب العرب

: عندما يكون ،
$$i=1,2,\ldots,m-1$$
 ، $C_{6+4(m-i)}$ عندما يكون ، قسيها في الدارة

$$u \in A, v \in \{v_i, v_i, u_i, u_i'\}$$

وإذ نــــدرس المســـافة العرضـــية
$$-2$$
 للرأســـين v_m' و v_m' مـــع رؤوس المجموعـــة وإذ نــــدرس المســـافة العرضـــية $i=1,2,\ldots,m-1$ عندما يكون $i=1,2,\ldots,m-1$ عندما يكون

$$d_2(v'_m, v_i) = d_2(u'_m, u_i) = 5 + 2(m-i)$$

$$d_2(v'_m, v'_i) = d_2(u'_m, u'_i) = 6 + 2(m-i)$$

$$d_2(v'_m, u_i) = d_2(u'_m, v_i) = 4 + 2(m-i)$$

$$d_2(v'_m, u'_i) = d_2(u'_m, v'_i) = 3 + 2(m-i)$$

كما أن المسافة للرأسين
$$v_{m+1}$$
 و u_{m+1} مع رؤوس المجموعة A_i ذاتها تكون كالأتى

$$d_2(v_{m+1}, v_i) = d_2(u_{m+1}, u_i) = 4 + 2(m-i)$$

$$d_2(v_{m+1}, v'_i) = d_2(u_{m+1}, u'_i) = 5 + 2(m-i)$$

$$d_2(v_{m+1}, u_i) = d_2(u_{m+1}, v_i) = 3 + 2(m-i)$$

$$d_2(v_{m+1}, u_i') = d_2(u_{m+1}, v_i') = 4 + 2(m-i)$$

ومن هذه المسافات وبأخذ المجموع لكل i نستنتج صيغة F(x) وهي:

$$F(x) = 2\sum_{i=1}^{m-1} (x^{6+2(m-i)} + 2x^{5+2(m-i)} + 3x^{4+2(m-i)} + 2x^{3+2(m-i)}) \qquad \dots (5.6)$$

وبعد تعويضها في العلاقة (5.5) نحصل على:

$$W_{2}(G_{m};x) = W_{2}(G_{m-1};x) + 2\sum_{i=1}^{m-1} (x^{6+2(m-i)} + 2x^{5+2(m-i)} + 3x^{4+2(m-i)} + 2x^{3+2(m-i)}) + W_{2}(C_{6};x) - x^{5} \qquad(5.7)$$

لأجل التبسيط نفرض أن j=m-i ، حيث أن $j \leq m-1$. وليكن

$$z_{i} = x^{6+2i} + 2x^{5+2i} + 3x^{4+2i} + 2x^{3+2i}$$
(5.8)

عندها يكون

$$W_2(G_m; x) = W_2(G_{m-1}; x) + W_2(C_6; x) - x^5 + 2\sum_{j=1}^{m-1} z_j \qquad \dots (5.9)$$

ومنها نحصل على أن

$$W_2(G_{m-1};x) = W_2(G_{m-2};x) + W_2(C_6;x) - x^5 + 2\sum_{j=1}^{m-2} Z_j \qquad(5.10)$$

كذلك

$$W_2(G_{m-2};x) = W_2(G_{m-3};x) + W_2(C_6;x) - x^5 + 2\sum_{i=1}^{m-3} z_i \qquad(5.11)$$

وهكذا فان

$$W_2(G_3; x) = W_2(G_2; x) + W_2(C_6; x) - x^5 + 2\sum_{i=1}^{2} z_i \qquad(5.12)$$

$$W_2(G_2; x) = 2W_2(C_6; x) - x^5 + 2z_1$$
(5.13)

ومما تقدم من المعادلات نحصل على أن

$$W_{2}(G_{m};x) = 2 \begin{pmatrix} 1 & 2 & 2 & 3 & m-1 \\ \sum_{j=1}^{n} z_{j} + \sum_{j=1}^{n} z_{j} + \sum_{j=1}^{n} z_{j} + \dots + \sum_{j=1}^{m-1} z_{j} \\ + mW_{2}(C_{6};x) - (m-1)x^{5} & \dots (5.14) \end{pmatrix}$$

$$\therefore W_2(G_m; x) = 3mx^3(1 + 2x + 2x^2) - (m-1)x^5 + 2\sum_{j=1}^{m-1} (m-j)z_j$$

$$=3mx^{3}(1+2x)+(5m+1)x^{5}+2\sum_{i=1}^{m-1}(m-j)z_{j}$$
(5.15)

وبالتعويض عن z_i المذكورة في (5.8) نحصل على (5.3) وبهذا يتم البرهان.

نتيجة 5.3: دليل وبنر للمسافة العرضية -2 للبيان G هو

$$W_2(G_m) = (16/3)m(m^2 - 4) + 54m^2 + 5$$
(5.16)

. (5.16) على العلاقة (5.3) والتعويض عن x=1 نحصل على العلاقة

6. بيان واكنر: Wagner graph

تعريف.6.1: بيان واكنر [4] هو بيان مكون من دارة برتبة زوجية مع الحافات التي كل واحدة منها تصل رأسين يبعدان عن بعضهما البعض في الدارة المذكورة بمسافة ثابتة تساوي نصف عدد الرؤوس.

ولأجل توضيح هذا التعريف نفرض أن عدد الرؤوس يساوي t وأن t ونرمز لهذا البيان t . ولتكن مجموعة رؤوسه كالأتى:

$$V(R_t) = \{v_1, v_2, ..., v_{2m}\}$$

عندها تكون مجموعة حافاته

$$E(R_t) = E(C_{2m}) \cup \{v_i v_{m+i} \mid i = 1, 2, ..., m\}$$

كما موضح في الشكل 6.1.

عامل الاتصال لبيان R_t يساوي 3. يعني أن $w \leq 3$. وعندما حاولنا إيجاد متعددة حدود وينر للمسافة العرضية w = 1 لهذا البيان لاحظنا فيها حالتين مختلفتين والاختلاف سببه عدد الرؤوس w = 1. الحالة الأولى إذا كانت الرتبة w = 1 ليست من مضاعفات العدد 4. والحالة الثانية عندما تكون w = 1 مضاعفات العدد 4.

وأخيرا X بد أن نذكر أن X_t هو بيان منتظم بالنسبة إلى المسافة العرضية. لهذا سنحاول إيجاد متعددة الحدود لرأس واحد من رؤوسه في كل من الحالات التي سوف نتناولها.

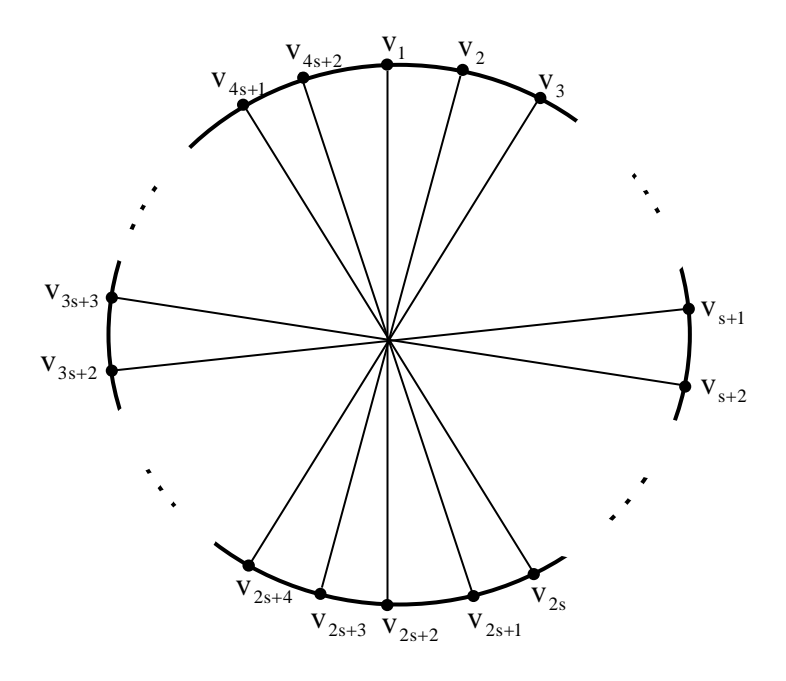
بما أن t عدد زوجي فان الحالتين هما t=4ه)، t=4ه و t=4ه).

عبارة: 6.2 إذا كانت $s \ge 1$ ، t = 4s + 2 فان:

$$W_2(R_t; x) = (2s+1)x^3 + tx \sum_{i=2}^{s+1} x^i + tx^2 \sum_{i=s+2}^{2s+1} x^{2s+1-i}$$
(6.1)

البرهان:

البيان R, في الشكل 6.1 يمثل هذه الحالة.



 R_{4s+2} الشكل 6.1 بيان واكنر

نجـ د متعـ ددة الحـ دود بالنسـ بة إلــ ى المسـافة العرضـ ية – 2 للـ رأس v_1 ، فـ إذا كــ ان نجـ د متعـ ددة الحـ دود بالنسـ بة إلــ ى المسـافة العرضـ ية – 2 للـ رأس $i=2,3,\ldots,s+1$ الصغرى تتكون من الدربين:

$$\begin{aligned} &P_1: v_1, v_2, v_3, \ ... \ , v_i \\ &P_2: v_1, v_{2s+2}, v_{2s+3}, \ ... \ , v_{2s+i+1}, v_i \end{aligned}$$

ومن الواضح أن

$$\ell(P_1) = i - 1$$
, $\ell(P_2) = i + 1$

وعليه فان

$$d_2(v_1, v_i) = \max\{\ell(P_1), \ell(P_2)\} = i + 1 \qquad \dots (6.2)$$

i = 2,3,4, ..., s+1 حيث

وإذا كانت
$$1 = s + 2, s + 3, ..., 2s + 1$$
 الصغرى تتكون من الدربين:

$$P_1: v_1, v_{2s+2}, v_{2s+1}, \dots, v_{i+1}, v_i$$

 $P_2: v_1, v_{4s+2}, v_{4s+1}, v_{4s}, \dots, v_{2s+1+i}, v_i$

ومن الواضح أن

$$\ell(P_1) = \ell(P_2) = 2s - i + 3$$

وعليه فان

$$d_2(v_1, v_i) = 2s - i + 3$$
(6.3)

i = s + 2, s + 3, ..., 2s + 1 عندما تکون

من (6.2) و (6.3) نحصل على

$$\sum_{i=2}^{2s+1} x^{d_2(v_1,v_i)} = \sum_{i=2}^{s+1} x^{i+1} + \sum_{i=s+2}^{2s+1} x^{2s-i+3} \qquad \dots (6.4)$$

وبما أنه لكل قيمة من قيم i، $i = 2 \le i \le 2$ ، يكون

$$d_2(v_1, v_i) = d_2(v_1, v_{t-i+2}) \qquad \dots (6.5)$$

فان هذه العلاقة تعطينا، وبعد التعويض عن قيمi، المسافات للرأس v_1 نسبة إلى الرؤوس للجهة المقابلة، أي الرؤوس $v_{2s+3}, v_{2s+4}, \dots, v_{4s+2}$ ولهذا تضرب العلاقة (6.4) بالعدد 2.

بقي أن نذكر أن:

$$d_2(v_1, v_{2s+2}) = 3$$

وبالاعتماد على ما تقدم نحصل على متعددة الحدود للمسافة العرضية – 2 للرأس v_1 ، وهي:

$$W_2(v_1, R_t; x) = x^3 + 2\sum_{i=2}^{s+1} x^{i+1} + 2\sum_{i=s+2}^{2s+1} x^{2s-i+3}$$
(6.6)

ولما كان R, منتظما بالنسبة إلى المسافة العرضية فان:

$$W_w(R_1;x) = (t/2)W_w(v_1,R_1;x)$$
(6.7)

حيث 2≤ w ≤3

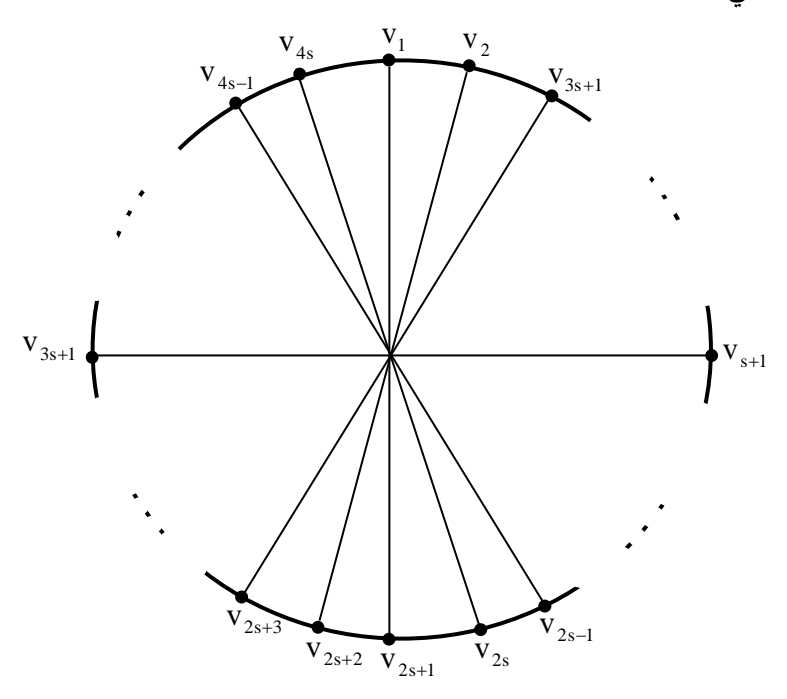
وأخيرا بالتعويض والتبسيط نحصل من (6.6) و (6.7) على (6.1).وبهذا يتم البرهان.

عبارة: 6.3 إذا كانت t=4s مان:

$$W_2(R_t; x) = 2s x^3 + t x \sum_{i=2}^{s} x^i + t x^2 \sum_{i=s+1}^{2s} x^{2s-i}$$
(6.8)

البرهان:

البيان R في الشكل 6.2 يمثل هذه الحالة.



الشكل 6.2 بيان واكنر

 v_1 كما في إثبات العبارة 6.2 فسوف نجد متعددة حدود وينر للمسافة العرضية -2 للرأس بسبب انتظام البيان بالنسبة إلى المسافة العرضية -w.

إذا كان
$$c(v_1,v_i)$$
 تتكون من الدربين $i=2,3,4,\dots,s$ إذا كان $P_1:v_1,v_2,v_3,\dots,v_i$
$$P_2:v_1,v_{2s+1},v_{2s+2},\dots,v_{2s+i},v_i$$

ومن الواضح أن

$$\ell(P_1) = i - 1$$
, $\ell(P_2) = i + 1$

وهكذا فان المسافة العرضية-2

$$d_2(v_1, v_i) = i+1$$
, $i = 2,3,4, ...,s$ (6.9)

وإذا كان
$$(v_1,v_1,v_1)$$
 الصغرى تتكون من الدربين $i=s+1,s+2,\dots,2s$ وإذا كان $P_1:v_1,v_{2s+1},v_{2s},\dots,v_{i+2},v_{i+1},v_i$

$$P_2: V_1, V_{4s}, V_{4s-1}, \dots, V_{i+2s+2}, V_{i+2s+1}, V_{i+2s}, V_i$$

وواضح أن

$$\ell(P_1) = \ell(P_2) = 2s - i + 2$$

وبهذا نحصل على المسافة العرضية-2

$$d_2(v_1, v_1) = 2s - i + 2$$
, $i = s + 1, s + 2 \dots , 2s$ (6.10)

وهكذا من (6.9) و (6.10) نحصل على

$$\sum_{i=2}^{2s} x^{d_2(v_1, v_i)} = \sum_{i=2}^{s} x^{i+1} + \sum_{i=s+1}^{2s} x^{2s-i+2} \qquad \dots (6.11)$$

 $2 \le i \le 2s$ كما نلاحظ أن لكل

$$d_2(v_1, v_i) = d_2(v_1, v_{t-i+2}) \qquad(6.12)$$

وبذلك فان متعددة الحدود للمسافة العرضية –2 للرأس v_1 مع جميع رؤوس ماعدا الرأس وبذلك فان متعددة الحدود (6.11) ولما كان $d_2(v_1,v_{2s+1})=3$ فان $d_2(v_1,v_{2s+1})=3$

$$W_2(v_1, R_t; x) = x^3 + 2\sum_{i=2}^{s} x^{i+1} + 2\sum_{i=s+1}^{2s} x^{2s-i+2}$$
(6.13)

وباستخدام (6.7) نحصل على (6.8) وبهذا يتم البرهان.

يمكن أن نوحد العبارتين6.2 و 6.3 في مبرهنة واحدة لسهولة الرجوع إليها.

مبرهنة 6.4: متعددة حدود وينر للمسافة العرضية –2 لبيان واكنر $R_{\rm t}$ برتبة t هي:

$$W_{2}(R_{t};x) = \begin{cases} 2s x^{3} + t x \sum_{i=2}^{s} x^{i} + t x^{2} \sum_{i=s+1}^{2s} x^{2s-i}, & \text{when } t = 4s, s \ge 2 \\ (2s+1)x^{3} + t x \sum_{i=2}^{s+1} x^{i} + t x^{2} \sum_{i=s+2}^{2s+1} x^{2s+1-i}, & \text{when } t = 4s+2, s \ge 1 \end{cases}$$

باشتقاق $W_2(R_t;x)$ بالنسبة إلى X وتعويض x=1 نحصل من المبرهنة $W_2(R_t;x)$ على النتيجة الآتية:

نتيجة 6.5: دليل وينر للمسافة العرضية -2 لبيان واكنر ، R هو

$$W_{2}(R_{t}) = \begin{cases} 4s(s^{2} + 3s - 1/2), & \text{when } t = 4s, s \ge 2\\ 2s(2s^{2} + 9s + 7) + 3, & \text{when } t = 4s + 2, s \ge 1 \end{cases}$$

الآن نعالج حالــة كــون w=3 وهنــا أيضــا لــدينا حالتــان لقــيم t، إمــا $s \ge 2$ (t=4s و t=4s) t=4s+2

عبارة 6.6: إذا كانت $s \ge 1$ ، t = 4s + 2 فان

$$W_3(R_t; x) = (2s+1)x^3 + tx^3 \sum_{i=2}^{s+1} x^{2s-i} + t \sum_{i=s+2}^{2s+1} x^{i-1}$$
(6.14)

البرهان:

عندما تكون $1+2 \le i \le 2s$ ، فإن الحاوية (v_i, v_i) الصغرى هي المكونة من الدروب:

$$P_1: v_1, v_2, v_3, \dots, v_i$$

$$P_2: v_1, v_{2s+2}, v_{2s+1}, \ ... \ , v_{i+2}, v_{i+1}, v_i$$

$$P_3: V_1, V_{4s+2}, V_{4s+1}, \dots, V_{2s+i+1}, V_i$$

ومن الواضح أن

$$\ell(P_1) = i - 1$$
, $\ell(P_2) = \ell(P_3) = 2s + 3 - i$

 $.2 \le i \le s+1$ عندما تكون s+3-i>i-1>1 ولما كان

 $2 \le i \le s + 1$ فانه لأحل

$$d_3(v_1, v_i) = 2s - i + 3$$
(6.15)

ولما كان $s+2 \le i \le 2s+1$ عندما $2s-i+3 \le i-1$ فان

$$d_3(v_1, v_i) = i - 1$$
(6.16)

 v_1 مما تقدم في (6.15) و (6.16) نجد أن متعددة الحدود للمسافة العرضية v_1 بين الرأس v_1 والرؤوس v_1 عي:

$$\sum_{i=2}^{2s+1} x^{d_3(v_1,v_i)} = \sum_{i=2}^{s+1} x^{2s-i+3} + \sum_{i=s+2}^{2s+1} x^{i-1} \qquad \dots (6.17)$$

ونلاحظ أن

$$d_3(v_1, v_{2s+2}) = 3$$
(6.18)

وأخيرا لبقية الرؤوس نلاحظ أنه لكل $2 \le i \le 2s + 1$ فان

$$d_3(v_1, v_i) = d_3(v_1, v_{t-i+2}) \qquad \dots (6.19)$$

 $.2s+3 \le i \le 4s+2$ لكل $d_3(v_1, v_i)$ والتي تعطينا

ولهذا تضرب العلاقة (6.17) بالعدد 2 وبعد جمعها مع \mathbf{x}^3 التي تنتج من (6.18) نحصل على

$$W_3(v_1, R_t; x) = x^3 + 2\sum_{i=2}^{s+1} x^{2s-i+3} + 2\sum_{i=s+2}^{2s+1} x^{i-1}$$
(6.20)

وأخيرا، بالاستناد إلى (6.7) وتبسيط المقدار نحصل على (6.14) وبهذا يتم البرهان.

عبارة 6.7: إذا كانت $s \ge 2$ ، t = 4s فان

$$W_3(R_t; x) = 2s x^3 + t x^2 \sum_{i=2}^{s+1} x^{2s-i} + t \sum_{i=s+2}^{2s} x^{i-1}$$
(6.21)

البرهان:

إذا كانت $2 \le i \le 2s$ فان الحاوية $C(v_1, v_i)$ ذات أصغر طول تتكون من الدروب الثلاثة آلاتية:

$$P_1: V_1, V_2, V_3, \dots, V_i$$

$$P_2: v_1, v_{2s+1}, v_{2s}, v_{2s-1}, \dots, v_{i+1}, v_i$$

$$P_3: v_1, v_{4s}, v_{4s-1}, v_{4s-2}, \ ... \ , v_{i+2s+2}, v_{i+2s+1}, v_{i+2s}, v_i$$

من الواضح أن:

$$\ell(P_1) = i-1$$
, $\ell(P_2) = \ell(P_3) = 2s-i+2$

ولما كان $2 \le i \le s+1$ عندما i-1 < 2s-i+2، فان

$$d_3(v_1, v_i) = 2s - i + 2$$
(6.22)

ولما كان $i = s + 2, s + 3, s + 4, \dots, 2s$ عندما 2s - i + 2 < i - 1، فان

$$d_3(v_1, v_i) = i - 1$$
, $s + 2 \le i \le 2s$ (6.23)

ومن (6.22) و (6.23) نحصل على متعددة حدود وينر للمسافة العرضية – 3 للرأس v_1 نسبة إلى الرؤوس $\{v_i: 2 \leq i \leq 2s\}$ ، وهي:

$$\sum_{i=2}^{2s} x^{d_3(v_1,v_i)} = \sum_{i=2}^{s+1} x^{2s-i+2} + \sum_{i=s+2}^{2s} x^{i-1} \qquad \dots (6.24)$$

من الواضح من الشكل 6.2 أن

$$d_3(v_1, v_{2s+1}) = 3$$
(6.25)

 $2 \le i \le 2s$ وأخيرا نلاحظ أن لكل

$$d_3(v_1, v_i) = d_3(v_1, v_{t-i+2})$$

وتكون

 $V_{2s+2}, V_{2s+3}, \dots, V_{4s}$ المسافة العرضية – 3 للرأس V_1 نسبة إلى الرؤوس بعدينا المسافة العرضية – 3 للرأس وهكذا من (6.24) و (6.25) نجد أن

$$W_3(v_1, R_t; x) = 2\sum_{i=2}^{s+1} x^{2s-i+2} + 2\sum_{i=s+2}^{2s} x^{i-1} + x^3 \qquad \dots (6.26)$$

وباستخدام (6.7) نحصل على (6.21) وبهذا يتم البرهان.

ولأجل تسهيل الرجوع إلى متعددة حدود وينر للمسافة العرضية-3 لبيان واكنر نجمع العبارتين6.6 و 6.7 في المبرهنة الآتية:

مبرهنة 6.8: متعددة حدود وينر للمسافة العرضية-3 للبيان R هي:

$$W_{3}(R_{t};x) = \begin{cases} 2sx^{3} + tx^{2} \sum_{i=2}^{s+1} x^{2s-i} + t \sum_{i=s+2}^{2s} x^{i-1} &, \text{ when } t = 4s, s \ge 2 \\ (2s+1)x^{3} + tx^{3} \sum_{i=2}^{s+1} x^{2s-i} + t \sum_{i=s+2}^{2s+1} x^{i-1} &, \text{ when } t = 4s+2, s \ge 1 \end{cases}$$

نتيجة 6.9 :

بتدقيق النظر في أعلى قوة لـ x في $W_2(R_t;x)$ و $W_3(R_t;x)$ نجد القطر للمسافة العرضية -2 و -3 للبيان R_t هو:

$$\operatorname{diam}_{2}R_{t} = 1 + \left\lceil \frac{t}{4} \right\rceil \qquad \dots (6.24)$$
$$\operatorname{diam}_{3}R_{t} = \frac{1}{2}t$$

نتيجة 6.10 : دليل وينر للمسافة العرضية-3 لبيان واكنر R هو:

$$W_{3}(R_{t}) = \begin{cases} s(3ts - t + 6) &, & \text{when } t = 4s \\ s(3ts + 2t + 6) + 3, & \text{when } t = 4s + 2 \end{cases}$$

المصادر

- [1] A. S. Aziz (2007) "The Width Distance and the w-Wiener polynomials of a graph", M. Sc. Thesis, Mosul University, Mosul.
- [2] F. Buckley and F. Harary (1990) **Distance in Graphs**, Addison-Wesley, Redwood.
- [3] G. Chartrand and L. Lesniak (1986) **Graphs and Digraphs**, Wadsworth Inc. Belmont, California.
- [4] R. Diestel (2000) **Graph Theory**, Springer-Verlag, New York.
- [5] A. A. Dobrynin (1993) "On Decomposition of the Wiener Index for Graphs of Catacondensed Hexagonal System", **Graph Theory Notes of New York**, XXV, The New York Academy of Sciences, PP.19-22.
- [6] I. Gutman (1993) "Some Properties of the Wiener Polynomial", **Graph Theory Notes of New York**, XXV, The New York Academy of Sciences, PP.13-18.
- [7] H. Hosoya (1988) "On Some Counting Polynomials in Chemistry", **Discrete Applied Math.**, 19, PP.239-257.
- [8] B. E. Sagan; Y-N. Yeh and P. Zhang (1996) "The Wiener Polynomial of a Graph", **Intern. J. of Quantum Chemistry**, Vol. 60, PP. 959-969.